

## Apêndice A. Imagens obtidas através de microscopia eletrônica de varredura.

### A.1. Microscopia de corpo de prova ensaiado à tração.

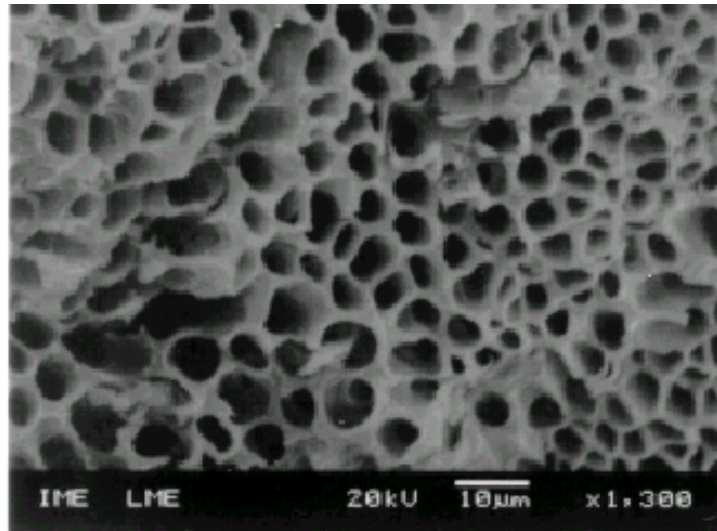


Figura A.1. Microscopia de corpo de prova ensaiado à tração. Escala 10  $\mu\text{m}$ . Fator de ampliação x 1300.

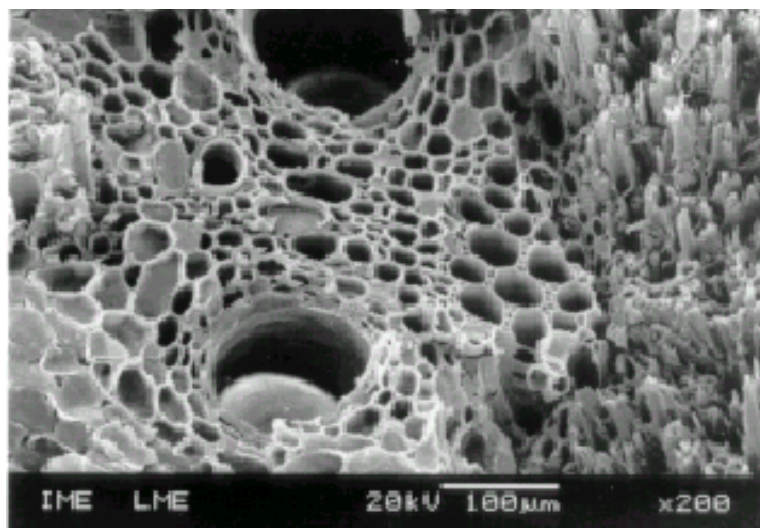


Figura A.2. Microscopia de corpo de prova ensaiado à tração. Escala 100  $\mu\text{m}$ . Fator de ampliação x 200.

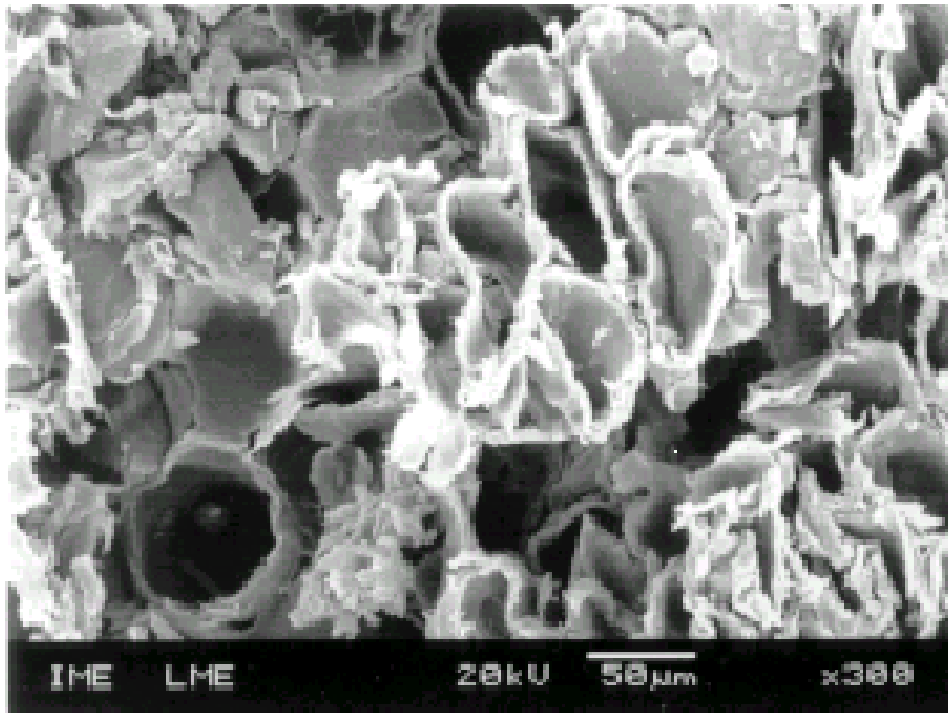


Figura A.3. Microscopia de corpo de prova ensaiado à tração. Escala 50 µm. Fator de ampliação x 300.

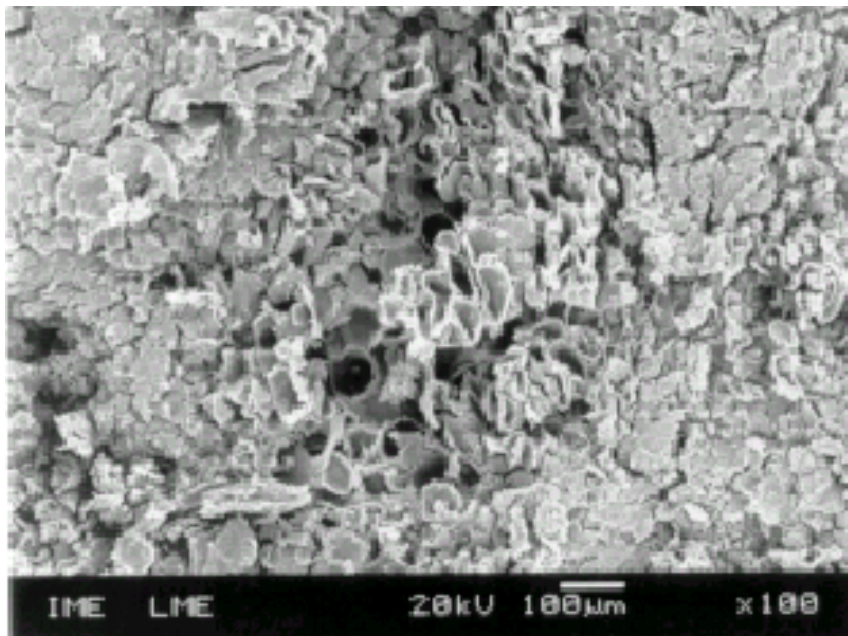


Figura A.4. Microscopia de corpo de prova ensaiado à tração. Escala 100 µm. Fator de ampliação x 100.

**A.2. Microscopia de corpo de prova ensaiado ao cisalhamento interlaminar.**

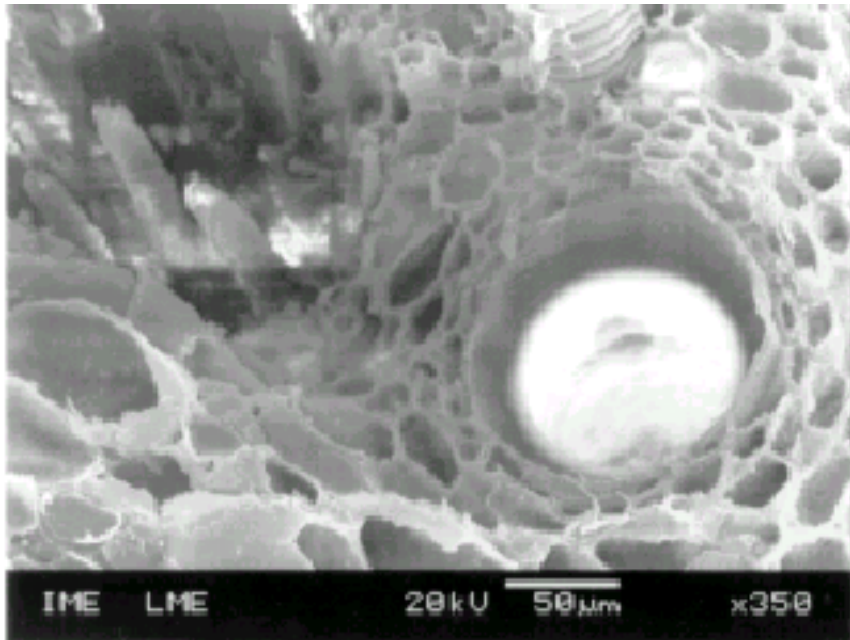


Figura A.5. Microscopia de corpo de prova ensaiado ao cisalhamento interlaminar. Escala 50  $\mu\text{m}$ . Fator de ampliação x 350.

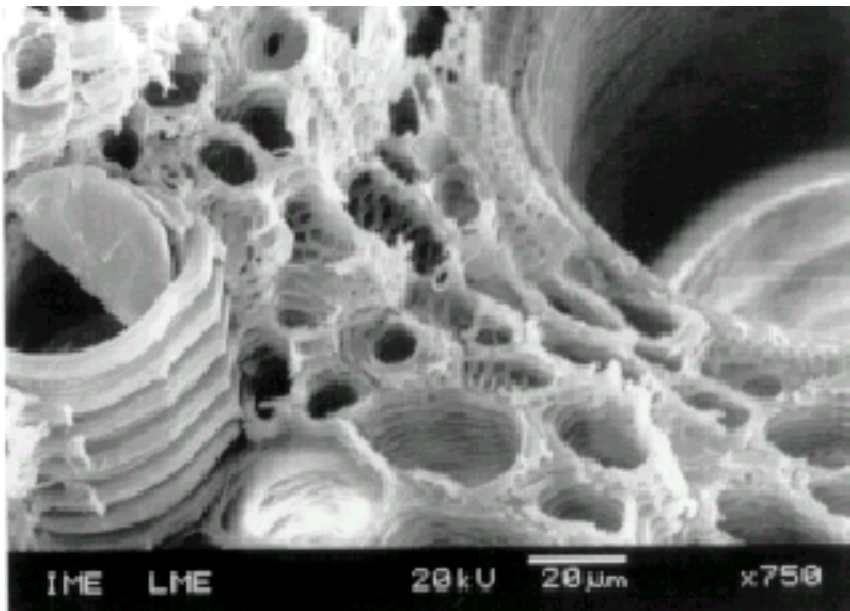


Figura A.6. Microscopia de corpo de prova ensaiado ao cisalhamento interlaminar. Escala 20  $\mu\text{m}$ . Fator de ampliação x 750.